周颖，徐玲玲，张莉超，等.高龄与血清学筛查高风险孕妇产前胎儿染色体异常及亚显微不平衡状态的比较分析（见正文第 174 页）

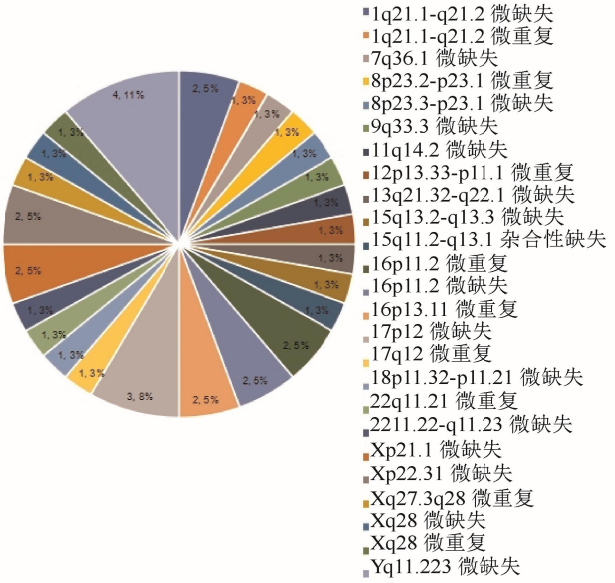


图 1　高龄组 P 或 LP 亚显微不平衡状态检出情况

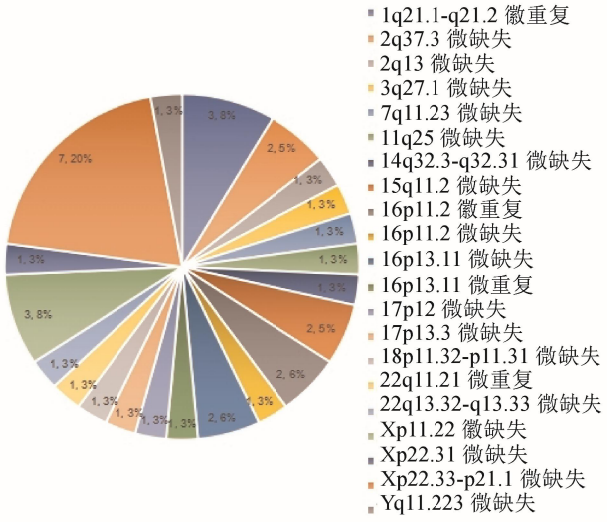


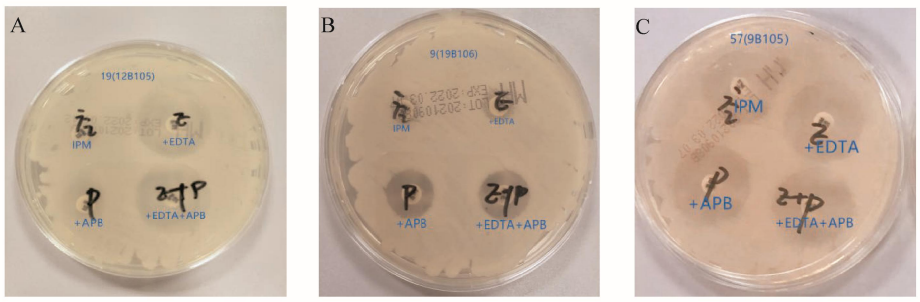
图 2　血清学筛查高风险组 P 或 LP 亚显微不平衡状态检出情况

金晓立，陈飞，叶雯凝，等.32 株碳青霉烯类耐药的高毒力肺炎克雷伯菌血清荚膜、毒力基因及多位点序列分型（见正文第 178 页）



注：26（17B108）、27（28B115）出现苹果果带样的生长增强现象，判断为阳性；25（6B43）无增强生长现象，判断为阴性

图 3　改良 Hodge 实验（部分）结果



注：A 为 19（12B105）产 A 类碳青霉烯酶，B 为 9（19B106）产 B 类碳青霉烯酶，C 为 57（9B105）不产 A 类或 B 类青霉烯酶

图 4　碳青霉烯抑制剂增强实验

郑树英，陈懿，陆怀初，等.2018—2022 年宁波市鄞州区沙门氏菌感染流行病学特征分析（见正文第 189 页）

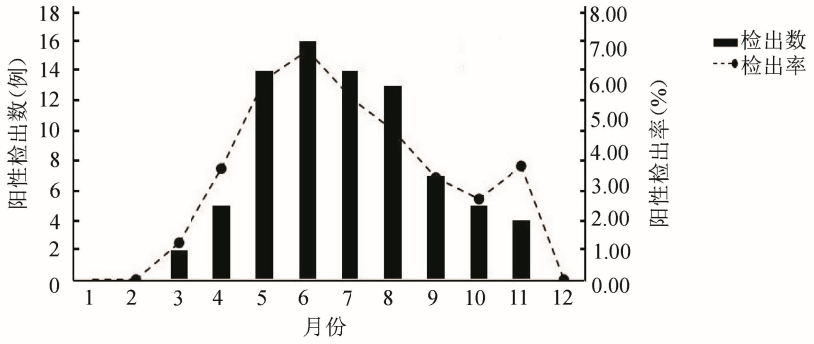
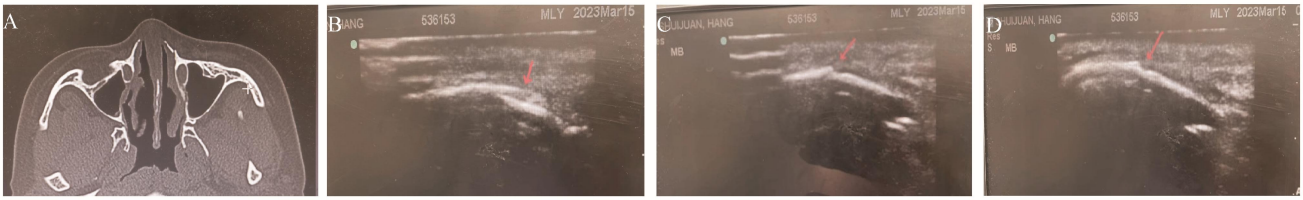


图 5　2018—2022 年宁波市鄞州区哨点医院沙门氏菌检出月份分布

陈剑，王冉红，王建国，等.高频超声在Ⅱ、Ⅲ型鼻骨骨折闭合复位术中的应用（见正文第 212 页）



注：患者女性，46 岁，A 为左侧鼻骨骨折术前 CT 影像，B 为手术开始前鼻骨骨折超声影像，C 为术中首次整复骨折超声影像，D 为术中调整后骨折线超声影像

图 6　典型病例图